

①

Levantele 1 PSI de la H:

Aussi d'une courbe nucléaire.

I Etude du circuit primaire:

II - Evolution de la température

autre la courbe de conductibilité et la fluide caloporteur:

Q1 - $S_{net} = N \pi d H$

AN $S_{net} = 41448 \times \pi \times 9,5 \times 10^{-3} \times 9,66$

$S_{net} = 4527 m^2$

ad - On réalise un bilan de puissance, on régime stationnaire, pour le volume compris entre 2 cylindres de hauteur H et de rayons r et r+dr.

Soit $\phi(r)$ la puissance thermique entrant par unité de rayon r

$\phi(r) = \int \rho_r(r) \cdot ds \cdot dr = \rho_r(r) \cdot 2\pi r H$

②

Avec $\rho_r = \rho_r(r) \cdot ds = -\rho_r \frac{dT}{dr} \cdot 2\pi r$

$\frac{d(\rho_r T)}{dr} = 0 = \phi(r) - \phi(r+dr) + \rho_r \pi r dr H$
diffusion *puissance* *volume nucléaire*

$-\frac{d\phi}{dr} \cdot dr + \rho_r \pi r dr H = 0$

$-\frac{d(\rho_r T)}{dr} + \rho_r H = 0$

$\frac{d}{dr} \left(r \frac{dT}{dr} \right) + \frac{\rho_r}{\rho_r} H = 0$

$A = \frac{\rho_r}{\rho_r}$

ad - $\frac{d}{dr} \left(r \frac{dT}{dr} \right) = -\frac{\rho_r}{\rho_r} H$

$r \frac{dT}{dr} = -\frac{\rho_r}{\rho_r} H r + K_1$

$\frac{dT}{dr} = -\frac{\rho_r}{\rho_r} H + \frac{K_1}{r}$

$T(r) = -\frac{\rho_r}{\rho_r} H r^2 + K_2 \ln r + K_2$

$\mu \rightarrow 0$ T ne pourrions diverger
 $K_1 = 0$

$$T(K_1) = \bar{T} = -\frac{P_1}{4dL} (K_1^2 + K_2)$$

$$T(\mu) = \bar{T} = -\frac{P_1}{4dL} (\mu^2 - K_1^2)$$

Q4 - En régime stationnaire, la puissance totale Q_1 développée dans le cercle est évacuée dans la gainie -

$$Q_1 = \text{puissance évacuée en } x = R_1$$

$P =$ puissance conduction - convection en $x = R_1$ d'après la continuité des flux thermiques en $x = R_1$

$$P_1 = 2\pi R_1 H L (\bar{T} - T_1)$$

$$P_1 = \pi(d - d_e) N H R_1 (\bar{T} - T_1)$$

$$\bar{T}_1 = \bar{T} = -\frac{P_1}{\pi(d - d_e) N H R_1}$$

③

Q5 - Dans la gainie, pas de source \Rightarrow il y a continuité des flux thermiques dans la gainie qui est égale à Q_1 .

$$Q_1 = \Phi_{\text{gainie}}(x) = -d_3 \frac{dT}{dx} 2\pi R_2 H N$$

$$\frac{dT}{dx} = -\frac{Q_1}{2\pi R_2 H N} \frac{1}{R_2}$$

$$T(x) - T_4 = -\frac{Q_1}{2\pi R_2 H N} R_2 \left(\frac{x}{R_2}\right)$$

$$T(R_2 < x < R_4) = T_4 + \frac{Q_1}{2\pi R_2 H N} R_2 \left(\frac{x}{R_2}\right)$$

Q6 - On connaît $T_5 = 20^\circ\text{C}$

on écrit la continuité des flux thermiques en $x = R_4$.

$$Q_1 = S_1 k_1 (T_4 - T_5)$$

$$T_4 = T_5 + \frac{Q_1}{k_1 S_1}$$

④

AN: $T_4 = 327,5^\circ\text{C}$

(5)

$$T_3 \in T(\alpha = R^+) = T_4 + \frac{\rho_1 d}{2d_3 \text{ Snet}} \ln\left(\frac{R_4}{R_3}\right)$$

$$T_3 = T_4 + \frac{\rho_1 d}{2d_3 \text{ Snet}} \ln\left(\frac{d}{d-d_2}\right)$$

AN: $T_3 = 327,5 + \frac{2776 \times 10^6 \times 9,5 \cdot 10^{-3}}{2 \times 16 \times 4 \text{ Snet}} \ln\left(\frac{9,5}{8,3}\right)$

$T_3 = 352^\circ\text{C}$

$$T_2 = T_3 + \frac{\rho_1 d}{(d-d_2) \text{ Snet}}$$

$$T_2 = 352 + \frac{2776 \cdot 10^6 \times 9,5 \cdot 10^{-3}}{8,3 \cdot 10^{-3} \times 10 \cdot 10^3 \times 4 \text{ Snet}}$$

$T_2 = 402^\circ\text{C}$

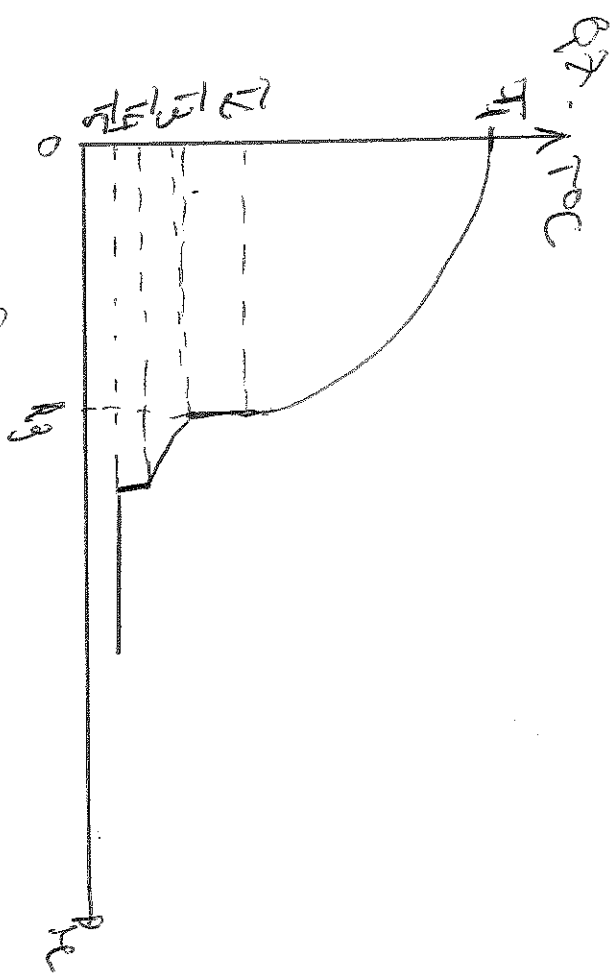
$$T_1 = T_2 + \frac{\rho_1 R_1^2}{4d_1} = T_2 + \frac{\rho_1 \pi R_1^2 H}{4d_1 \pi H}$$

$$T_1 = T_2 + \frac{\rho_1 d}{4d_1 \text{ Snet}}$$

(6)

$$T_1 = 402 + \frac{2776 \times 10^6 \times 9,5 \cdot 10^{-3}}{4 \times 8,5 \times 4 \text{ Snet}}$$

$T_1 = 838^\circ\text{C}$



07 - On préfère se fonctionner avec pressions extrême sans risque de rupture dans le circuit primaire et donc une baisse de température de vaporisation de l'eau - l'eau au circuit primaire reçoit

(7) de se vaporiser pour passer à une nouvelle évaporation de l'énergie produite par la combustion (le coefficient d'échange, ρ de pert des pertes) et à une fusion des cœurs des réacteurs.

II - On se propose de déterminer les longitudes des barres pour la puissance thermique obtenue en régime de la première harmonique.

On applique le bilan énergétique par un fluide en écoulement stationnaire à la branche d'eau comprise entre z et $z+dz$.

En régime stationnaire, le système reçoit la puissance thermique P_{th} par les réactions nucléaires engendrées dans le volume de la branche comprise entre z et $z+dz$.

$$D_m (R_0(z+dz) - R_1(z)) = R_0(z) \pi R_0^2 dz \quad (8)$$

$$D_m c_s [\pi(z+dz) - \pi(z)] = R_0(z) \pi R_0^2 dz.$$

On a donc

$$D_m c_s \frac{dz}{dz} = R_0 \pi R_0^2 \sin\left(\frac{\pi z}{H}\right)$$

En intégrant entre $z=0$ et $z=H$, on obtient

$$D_m c_s (T - T_0) = R_0 \pi R_0^2 \int_0^H \sin\left(\frac{\pi z}{H}\right) dz$$

$$T - T_0 = \frac{R_0 \pi R_0^2}{D_m c_s} \times \frac{H}{\pi} \left(-\cos\left(\frac{\pi z}{H}\right) \right)_0^H$$

$$T - T_0 = \frac{2 R_0 R_0^2 H}{D_m c_s}$$

De même en intégrant entre 0 et z on obtient:

$$T(z) - T_0 = \frac{R_0 \pi R_0^2}{D_m c_s} \left[-\frac{H}{\pi} \cos\left(\frac{\pi z}{H}\right) \right]_0^z$$

$$T(z) - T_e = \frac{b R_0 H}{D r c s} \left(1 - \cos\left(\frac{r z}{\#}\right) \right) \quad (9)$$

D'ici d'après l'expression de

$$T_s - T_e$$

$$T(z) - T_e = \frac{T_s - T_e}{2} \left(1 - \cos\left(\frac{r z}{\#}\right) \right)$$

Q11 - On écrit la permittivité des fibres radial traversant le cylindre de rayon R_0 compris entre z et $z + dz$

$$P(z) \pi R_0^2 dz = P(z) \pi R_0 dz$$

$$T(z) = T(z) + \frac{R_0 P_0}{D r c s} \sin\left(\frac{r z}{\#}\right)$$

$$T(z) - T_e = \frac{T_s - T_e}{2} \left(1 - \cos\left(\frac{r z}{\#}\right) \right) + \frac{(T_s - T_e) D r c s \sin\left(\frac{r z}{\#}\right)}{4 R_0 H}$$

$$\frac{T(z) - T_e}{T_s - T_e} = f \left(1 - \cos\left(\frac{r z}{\#}\right) + \frac{D r c s \sin\left(\frac{r z}{\#}\right)}{2 R_0 H} \right) \quad (10)$$

$$\frac{T(z) - T_e}{T_s - T_e} = \frac{1}{2} \left(1 + b \cos\left(\frac{r z}{\#}\right) + c \sin\left(\frac{r z}{\#}\right) \right)$$

avec

$$b = -1$$

$$c = \frac{D r c s}{2 R_0 H}$$

Q12 - On peut faire un bilan d'énergie en régime stationnaire sur le vol. des charges comprises entre z et $z + dz$. Comme la section est constante on obtient de même type de relation:

$$\frac{\partial T}{\partial z} \left(H \frac{\partial T}{\partial z} \right) = - \frac{P(z) H}{dz}$$

$$H \frac{\partial T}{\partial z} = - \frac{P(z) H}{dz} + P(z)$$

$$\frac{\partial T}{\partial z} = - \frac{P(z) H}{2 dz} + \frac{P(z)}{2}$$

$$T_e(h, z) = -\frac{3\sigma(z)k}{4\alpha} + \beta(z)u(z) + q(z) \quad (11)$$

The no-pollutant divergence on $z=0$.

$$\beta(z) = 0$$

De plus $T_e(h_1, z) = T_e(z) = -\frac{3\sigma(z)k}{4\alpha} + q(z)$

D'ore

$$T_e(h, z) = T_e(z) - \frac{3\sigma(z)k}{4\alpha} (kz - h_1z)$$

$$\frac{T_e(h, z) - T_e}{T_S - T_e} = \frac{T_e(z) - T_e}{T_S - T_e} - \frac{\rho \sin(\frac{Dz}{H})}{4\alpha D(T_S - T_e)} (kz - h_1z)$$

$$\frac{T_e(h, z) - T_e}{T_S - T_e} = \frac{1}{2} \left(1 - \cos\left(\frac{Dz}{H}\right) \right) + \frac{\rho \cos\left(\frac{Dz}{H}\right) \sin\left(\frac{Dz}{H}\right)}{8\alpha D H} \cos\left(\frac{Dz}{H}\right) - \frac{\rho \cos\left(\frac{Dz}{H}\right) \sin\left(\frac{Dz}{H}\right)}{8\alpha D H} (kz - h_1z)$$

$$\frac{T_e(h, z) - T_e}{T_S - T_e} = \frac{1}{2} \left[1 - \cos\left(\frac{Dz}{H}\right) \right] + \left[\frac{\rho \cos\left(\frac{Dz}{H}\right) \sin\left(\frac{Dz}{H}\right)}{8\alpha D H} + \frac{\rho \cos\left(\frac{Dz}{H}\right) \sin\left(\frac{Dz}{H}\right)}{8\alpha D H} \left(1 - \frac{h_1z}{kz} \right) \right] \sin\left(\frac{Dz}{H}\right)$$

On trouve bien la forme simplifiée avec. (12)

$$D = -1$$

$$E = \frac{\rho \cos\left(\frac{Dz}{H}\right) \sin\left(\frac{Dz}{H}\right)}{8\alpha D H}$$

$$F = \frac{\rho \cos\left(\frac{Dz}{H}\right) \sin\left(\frac{Dz}{H}\right)}{8\alpha D H}$$

Q13 -

$$T_e(z) = T_e + \frac{T_e - T_e}{D} \left(1 - \cos\left(\frac{Dz}{H}\right) \right) + \left[\frac{\rho \cos\left(\frac{Dz}{H}\right) \sin\left(\frac{Dz}{H}\right)}{8\alpha D H} + \frac{\rho \cos\left(\frac{Dz}{H}\right) \sin\left(\frac{Dz}{H}\right)}{8\alpha D H} \right] \sin\left(\frac{Dz}{H}\right)$$

$$\frac{\partial T_e}{\partial z} = 0$$

$$\# \frac{1}{2} \sin\left(\frac{Dz}{H}\right) + \frac{1}{2} \frac{\rho \cos\left(\frac{Dz}{H}\right) \sin\left(\frac{Dz}{H}\right)}{4\alpha D H} \left(\frac{1}{kz} + \frac{1}{kz} \right) \cos\left(\frac{Dz}{H}\right)$$

$$\# \text{ pour } \left[\frac{Dz}{H} \right] = -\frac{\rho \cos\left(\frac{Dz}{H}\right) \sin\left(\frac{Dz}{H}\right)}{8\alpha D H} \left(\frac{1}{kz} + \frac{1}{kz} \right)$$

$$0 < z < H, \text{ or } H < z < \pi$$

$$T_{max} = \pi - \arctan\left(\frac{\rho \cos\left(\frac{Dz}{H}\right) \sin\left(\frac{Dz}{H}\right)}{8\alpha D H} \left(\frac{1}{kz} + \frac{1}{kz} \right)\right)$$

$$z_{\max} = H - \frac{H}{\alpha} \cos(\alpha) \left(\frac{\rho_{\text{air}}}{\rho_{\text{H}_2\text{O}}} \left(\frac{1}{\sin \alpha} + \frac{1}{\alpha} \right) \right)$$

$$z_{\max} = 1,86 \text{ m}$$

$$T(z_{\max}) = 97,15^\circ\text{C}$$

On obtient une température plus inférieure à celle de position due combinée à l'existence de gradient en température verticale.

Q15 -

$$E_{\text{R}} z = 0 \text{ et } z = H, \quad P_0(z=0 \text{ ou } z=H) = 0$$

→ pas de puissance à l'émission

$$\Rightarrow T_0(z=0) = T_e = 284^\circ\text{C}$$

$$T_0(z=H) = T_s = 312^\circ\text{C}$$

la puissance à l'émission augmente avec z pour $0 < z < H$ et est maximale en $\frac{H}{2}$ (écart maxi entre $T_0(z)$ et T_0) de l'air la température $T(z)$ augmente avec z .

la combinaison des 2 effets entraîne que $T_0(z)$ maxi pour $z > \frac{H}{2}$.

Écarte nous de $T_0(z)$, comme la puissance à l'émission diminue $T_0(z)$ diminue lorsque $z=H$ et $T_0(H) = T(H)$.

$T_{\text{max}} \approx 337^\circ\text{C} < 345^\circ\text{C}$ temp. de vaporisation de l'eau sous 155 bars → l'eau dans circuit primaire ne se vaporisera pas.